

**КРИТИЧЕСКИЕ ТОЧКИ
И ТОЧКИ БИФУРКАЦИИ ВРАЩАЮЩИХСЯ
НАМАГНИЧЕННЫХ НЬЮТОНОВСКИХ ПОЛИТРОП
С ИНДЕКСОМ $1 \leq n \leq 1,6$**

С. А. Михеев, В. П. Цветков

Тверской государственный университет, Тверь, Россия

В работе впервые показано наличие критических точек и точек бифуркации у вращающихся ньютоновских политроп с индексом $1 \leq n \leq 1,6$. Погрешность символьно-численных вычислений в метрике L_2 составила величину порядка 10^{-4} . Построено приближенное аналитическое решение задачи с вышеуказанной степенью точности. Вычислено критическое значение индекса политропы $n = n_k = 1,51025$, выше которого точек бифуркации и критических точек нет. Значение n_k соответствует бесконечно медленному вращению политропы. Кроме того, в данной работе предсказано наличие скачков периода в точке бифуркации T_b и оценена относительная величина этого скачка $\Delta T_b/T_b \sim B_{0\text{in}}^{4/3}$.

In this paper, the presence of critical points and bifurcation points of rotating Newtonian polytropic curves with an index of $1 \leq n \leq 1.6$ has been shown for the first time. The symbolic-numerical calculation error in metric L_2 has reached the size of 10^{-4} order. The approximate analytical solution of the problem to the above-mentioned accuracy has been set forth. The critical value of polytropic curve index $n = n_k = 1.51025$ has been calculated which is the highest one among the critical points and bifurcation points. Value n_k corresponds to the infinitely slow polytropic curve rotation. Furthermore, in this paper, the presence of the period jump at the bifurcation point T_b has been predicted and the relative value of this jump $\Delta T_b/T_b \sim B_{0\text{in}}^{4/3}$ estimated.

PACS: 97.10.Kc; 02.60.Cb; 02.60.Nm; 02.70.Wz; 04.25.Nx

ВВЕДЕНИЕ

Наблюдения за эволюцией вращающихся намагниченных нейтронных звезд (пульсаров) позволяют получить уникальные данные об уравнениях состояния сверхплотной ядерной материи. Такая возможность возникает за счет наличия критических точек в распределении плотности гравитирующих вращающихся намагниченных конфигураций при определенных значениях параметров их уравнений состояния. Вблизи этих точек возникают аномалии периода их вращения, что может быть зарегистрировано с помощью опыта.

Наибольшей популярностью пользуется задание уравнения состояния в виде политропы соответствующего индекса n .

В настоящее время распространена точка зрения в теории ньютоновских политроп, восходящая к работам Дж. Джинса [1] и Р. Джеймса [2], что точек бифуркации у них

при $n > 0,83$ и $n > 0,808$ соответственно нет. Естественно, такое утверждение ничем не обосновано и является всего лишь предположением. Поэтому актуальна задача о исследовании точек бифуркации ньютоновских политроп со значением индекса порядка и больше единицы.

Использование новых математических подходов в теории вращающихся ньютоновских политроп, а именно символично-численных вычислений, позволяет поднять ее на новый качественный уровень [3–5]. Так, в работе [4] в рамках данного подхода впервые доказано существование точек бифуркации ньютоновских вращающихся политроп в интервале значений их индекса $1 \leq n \leq 1,0795$, в которых ответвляются асимметричные относительно оси вращения решения, описывающие распределения плотностей. Причем в области значений индекса политропы, близких к значению 1,0795, значение параметра сплюснутости конфигурации e в точке бифуркации уже достаточно близко к единице, а параметр быстроты вращения ε может принимать сколь угодно малые значения. Особенностью работы [4] является использование полиномов наилучшего приближения в L_2 по степеням координат при расчете симметричных относительно оси вращения параметров конфигурации, а при расчете асимметричных параметров отбрасываются все степени координат выше шестой. Недостаток работы — использование полинома всего лишь второй степени ($N = 2$) при аппроксимации вклада давления в уравнении гидростатического равновесия. Такой подход, как будет нами показано, повлиял на точность результатов расчетов асимметричных параметров.

Цель нашей работы — расчет как симметричных, так и асимметричных параметров вращающейся ньютоновской политропы с индексом $1 \leq n \leq 1,6$ с единым использованием полиномов наилучшего приближения в L_2 по степеням координат конфигурации. При этом мы возьмем значение $N = 4$, что больше чем на порядок уменьшает погрешность используемой аппроксимации.

1. ОСНОВНЫЕ УРАВНЕНИЯ МОДЕЛИ

В основу нашей математической модели вращающихся намагниченных политроп, как и в [4], положим уравнение

$$\frac{1}{2\pi a_1^2} \int_D \tilde{\rho}(\mathbf{r}') \left(\frac{1}{|\mathbf{r}'|} - \frac{1}{|\mathbf{r} - \mathbf{r}'|} \right) dV' - (1+n)K_0(1 - \tilde{\rho}^{1/n}) - \varepsilon \frac{\mathbf{r}_\perp^2}{a_1^2} = \Pi_{(m)}(\mathbf{r}), \quad (1)$$

где $\Pi_{(m)}$ — вклад магнитных натяжений потенциального характера; $\tilde{\rho} = \rho/\rho_0$, ρ — плотность конфигурации, ρ_0 — плотность политропы в центре; a_1, a_3 — полуоси сфероиды, аппроксимирующей поверхность конфигурации; $K_0 = P_0/(2\pi G \rho_0^2 a_1^2)$, P_0 — центральное значение давления, G — гравитационная постоянная; $\varepsilon = \omega^2/(4\pi G \rho_0)$, ω — угловая скорость вращения конфигурации; $\mathbf{r}_\perp = x_1 \mathbf{e}_1 + x_2 \mathbf{e}_2$, $x_1 = x/a_1$, $x_2 = y/a_1$, $x_3 = z/a_3$; D — область R^3 , в которой $\tilde{\rho} \geq 0$.

Уравнение (1) представляет собой интегральное уравнение с подвижной границей в R^3 . Эту границу δD будем искать в виде возмущенной эллипсоидальной поверхности [6]:

$$\delta D: \quad x_1^2 + x_2^2 + x_3^2 + \sum_{ijk}^L Z_{ijk} x_1^i x_2^j x_3^k = 1. \quad (2)$$

Полуоси аппроксимирующего сфероида a_1, a_3 и коэффициенты Z_{ijk} находятся из условия минимизации функционала Λ [3]:

$$\Lambda = \frac{1}{4\pi} \int_{\delta D} \tilde{\rho}^2 d\Omega, \quad (3)$$

$$\frac{\partial \Lambda}{\partial Z_{ijk}} = 0, \quad a_1 \frac{\partial \Lambda}{\partial a_1} = 0, \quad a_3 \frac{\partial \Lambda}{\partial a_3} = 0. \quad (3a)$$

Система уравнений (1)–(3) замкнута и из нее находятся параметры конфигурации $a_1, a_3, Z_{ijk}, \tilde{\rho}$.

Плотность конфигурации $\tilde{\rho}$ приблизим полиномом степени P :

$$\tilde{\rho} \cong \sum_{a,b,c}^P \rho_{abc} x_1^a x_2^b x_3^c. \quad (4)$$

Согласно теореме Стоуна–Вейерштрасса, выражение (4) аппроксимирует $\tilde{\rho}$ с любой степенью точности. Достаточно выбрать P большим.

Коэффициенты ρ_{abc} и Z_{ijk} , определяющие структуру конфигурации, разобьем на симметричные $\rho_{(ab)c}, Z_{(ij)k}$ и антисимметричные $\rho_{[ab]c}, Z_{[ij]k}$ части относительно оси вращения и будем искать в виде разложения по малому параметру асимметрии X , подлежащему в дальнейшем определению:

$$\rho_{abc} = \frac{\left(\frac{a+b}{2}\right)!}{\left(\frac{a}{2}\right)! \left(\frac{b}{2}\right)!} \rho_{a+b,c} + \rho_{1[ab]c} X + \rho_{2(ab)c} X^2, \quad (5)$$

$$Z_{ijk} = \frac{\left(\frac{i+j}{2}\right)!}{\left(\frac{i}{2}\right)! \left(\frac{j}{2}\right)!} Z_{i+j,k} + Z_{1[ij]k} X + Z_{2(ij)k} X^2.$$

Здесь и далее a, b, c и i, j, k являются четными, и имеют место соотношения симметризации: $\rho_{2(ab)c} = \rho_{2(ba)c}, \rho_{1[ab]c} = -\rho_{1[ba]c}, Z_{2(ij)k} = Z_{2(ji)k}, Z_{1[ij]k} = -Z_{1[ji]k}$.

Имеющиеся к настоящему времени оценки внешнего магнитного поля пульсаров $B_{0\text{out}}$ по замедлению периода дают $B_{0\text{out}} \sim 10^{10} - 10^{12}$ Гс. Если внутреннее магнитное поле $B_{0\text{in}}$ на два порядка больше внешнего поля $B_{0\text{out}}$, то в этом случае $|\Pi_{(m)}| \sim 10^{-12} - 10^{-9}$ при $\rho_0 = 4 \cdot 10^{14}$ г/см³. Поэтому мы будем учитывать влияние $\Pi_{(m)}$ только на асимметричные относительно оси вращения коэффициенты.

Представим $\Pi_{(m)}$, как и в (4), полиномом степени P :

$$\Pi_{(m)} = \sum_{a,b,c}^P (\Pi_{(m)(ab)c} + \Pi_{(m)[ab]c}) x_1^a x_2^b x_3^c. \quad (6)$$

Причем $\Pi_{(m)(ab)c} = \Pi_{(m)(ba)c}$ и $\Pi_{(m)[ab]c} = -\Pi_{(m)[ba]c}$.

На основании сделанных оценок положим $\Pi_{(m)(ab)c} = 0$, а $\Pi_{(m)[ab]c}$ выберем в самом простом виде, а именно будем считать отличными от нуля только коэффициенты $\Pi_{(m)[20]0} = -\Pi_{(m)[02]0} = -k\eta_m$. Здесь k — показатель скорости убывания магнитного поля от магнитной оси, а $\eta_m = B_{0\text{in}}^2 \sin^2 \alpha / (32\pi^2 G \rho_0^2 a_1^2)$ ($B_{0\text{in}}$ — характерное значение магнитной индукции в центре конфигурации, α — угол наклона магнитной оси к оси вращения).

При произвольных значениях индекса политропы n уравнение (1) будет весьма сложным для решения. Упростим его, аппроксимировав $\tilde{\rho}^{1/n}$ полиномом степени N :

$$\tilde{\rho}^{1/n} = \sum_{k=1}^N \delta_k(n) \tilde{\rho}^k + \Delta_N(n). \quad (7)$$

Для нахождения коэффициентов δ_k в системе символьной математики MAPLE нами составлена программа. Она позволяет получить аналитические представления δ_n и $\Delta_N(n)$ в метрике L_2 для любых значений N .

Для случая $N = 4$ график $\Delta_N(n)$ представлен на рис. 1.

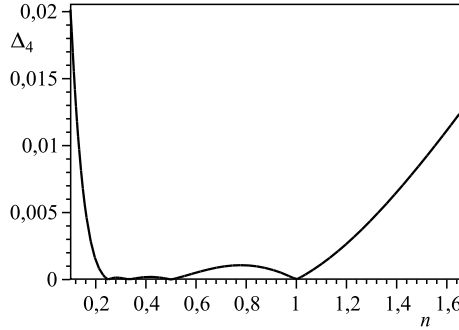


Рис. 1. График функции $\Delta_N(n)$ при $N = 4$

С учетом (7) уравнение (1) приводится к виду

$$\frac{1}{2\pi a_1^2} \int_D \tilde{\rho}(\mathbf{r}') \left(\frac{1}{|\mathbf{r}'|} - \frac{1}{|\mathbf{r} - \mathbf{r}'|} \right) dV' + (1+n)K_0 \left(\sum_{k=1}^N \delta_k(n) \tilde{\rho}^k - 1 \right) - \varepsilon(x_1^2 + x_2^2) + \eta_m(x_1^2 - x_2^2) = 0. \quad (8)$$

В (8) для определенности взяли $k = 1$.

Очевидно, уравнение (8) можно использовать для реалистических уравнений состояния гравитирующей материи, выбирая надлежащим способом коэффициенты δ_k и степень полинома N .

2. РЕШЕНИЕ ОСНОВНОГО УРАВНЕНИЯ МОДЕЛИ

При решении (8) нам будет удобно считать все параметры модели функциями сплюснутости конфигурации e :

$$\rho_{abc} = \rho_{abc}(e), \quad Z_{ijk} = Z_{ijk}(e), \quad K_0 = K_0(e), \quad \varepsilon = \varepsilon(e). \quad (9)$$

Для аналитического вычисления интегралов в левой части (8) нами в системе MAPLE составлена и реализована программа [7]. Она позволяет представить уравнение (8) в виде полинома по степеням координат x_1, x_2, x_3 :

$$\sum_{p+q+r=2}^{p+q+r=S} F_{pqr}(\rho_{abs}(e), Z_{ijk}(e), K_0(e), \varepsilon(e), \eta_m, X) x_1^p x_2^q x_3^r = 0. \quad (10)$$

Степень многочлена левой части (10) S находится из условия $S = \max\{P + s(L - 2) + 2, NP\}$, где $s = 0, 1, 2, \dots$, и определяет вычисленный нами наивысший член ряда Бурмана–Лагранжа, используемого в программе.

Для решения (10) используем моментный метод:

$$M_{abc} = \sum_{p+q+r=2}^{p+q+r=S} F_{pqr} \int_D x_1^{p+a} x_2^{q+b} x_3^{r+c} dV' = 0. \quad (11)$$

Наша программа позволяет также провести аналитическое вычисление M_{abc} .

В первом приближении положим $X = 0$ и найдем значения $\rho_{ab}, Z_{ij}, K_0, \varepsilon$, соответствующие фигуре вращения. Двумерные массивы неизвестных переведем в одномерные $y_m, m = 1, 2, \dots, N_1$. Легко находим

$$N_1 = \frac{1}{8}(P + 2)(P + 4) + \frac{1}{8}(L + 2)(L + 4). \quad (12)$$

Дальнейшие вычисления будем проводить в приближении $P = 6, L = 2, s = 1$. Тогда имеем $N_1 = 13$.

В этом случае уравнения (11) и (3а) представляют собой систему из 13 алгебраических уравнений и могут быть записаны в виде

$$\mathbf{f}(\mathbf{y}, e, n) = 0, \quad \mathbf{y} = (y_1, y_2, \dots, y_{13}). \quad (13)$$

Для ряда интересующих нас значений n и e матрица Якоби $\mathbf{f}'(\mathbf{y}, e, n)$ плохо обусловлена. Поэтому для решения (12) мы будем использовать регуляризованный аналог метода Ньютона [8] с параметром регуляризации $\alpha = 10^{-6}$. В результате имеем следующую итерационную схему:

$$\mathbf{y}^{(k+1)}(e, n) = \mathbf{y}^{(k)}(e, n) - \tau_k [\alpha \mathbf{f}^2(\mathbf{y}^{(k)}, e, n) + \tilde{\mathbf{f}}'(\mathbf{y}^{(k)}, e, n) \mathbf{f}'(\mathbf{y}^{(k)}, e, n)]^{-1} \tilde{\mathbf{f}}'(\mathbf{y}^{(k)}, e, n) \mathbf{f}(\mathbf{y}^{(k)}, e, n), \quad (14)$$

где k — номер итерации; τ_k ($\Theta_0 \ll \tau_n \ll 1$) — итерационный параметр; $\mathbf{f}'(\mathbf{y}^{(k)}, e, n)$ — матрица Якоби; $\tilde{\mathbf{f}}'(\mathbf{y}^{(k)}, e, n)$ — транспонированная матрица Якоби.

Величина $\sqrt{\mathbf{f}^2(\mathbf{y}^{(k)}, e, n)}$ представляет собой невязку и определяет точность решения системы уравнений (13).

Интересующие нас интервалы значений параметров e и n разобьем на участки с шагами h_e и h_n соответственно:

$$\begin{aligned} e &\rightarrow e_\mu = 1 - \mu h_e, \quad \mu = 0, 1, 2, \dots, \left[\frac{0,5}{h_e} \right], \\ n &\rightarrow n_\nu = 1,6 - \nu h_n, \quad \nu = 0, 1, 2, \dots, \left[\frac{0,6}{h_n} \right]. \end{aligned} \quad (15)$$

Мы использовали для расчетов следующие значения: $h_e = 0,02$, $h_n = 0,025$.

Составленная и реализованная нами программа в системе MAPLE позволила найти массив численных решений $y_m(e_\mu, n_\nu)$. Погрешность решения уравнения (8) оказалась порядка 10^{-3} в метрике L_2 .

Далее мы воспользовались пакетом CurveFitting системы MAPLE для аппроксимации полученных численных решений $y_m(e_\mu, n_\nu)$ полиномами от e и n восьмой степени по обоим параметрам. Погрешность этой аппроксимации составила 10^{-5} в C -метрике, что на два порядка меньше, чем погрешность численного решения уравнения (8), вычисленная в L_2 -метрике.

Разработанный нами метод позволил найти приближенное аналитическое решение уравнения (8).

В явном виде представляющие функции ρ_{ab} , Z_{ij} , K_0 , ε полиномы ввиду их громоздкости мы приводить не будем, а дадим их графики на рис. 2–8.

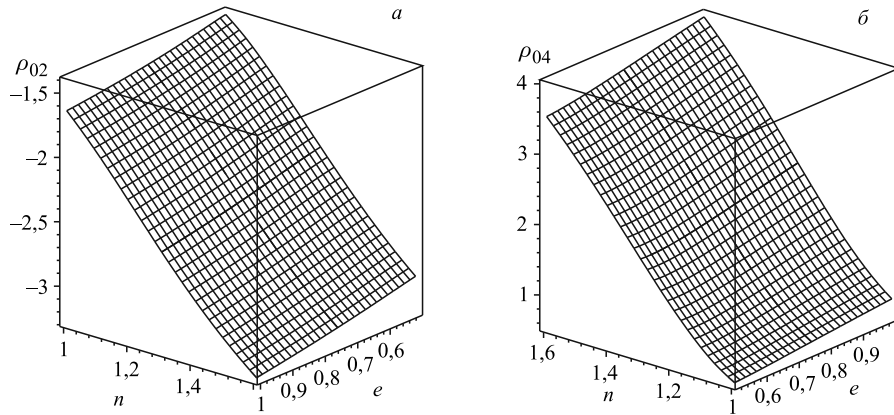


Рис. 2. Графики функций $\rho_{02}(e, n)$ (a) и $\rho_{04}(e, n)$ (б)

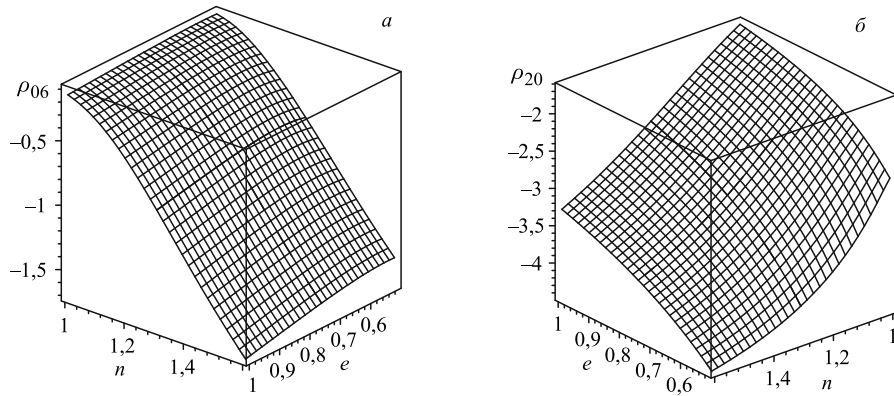


Рис. 3. Графики функций $\rho_{06}(e, n)$ (a) и $\rho_{20}(e, n)$ (б)

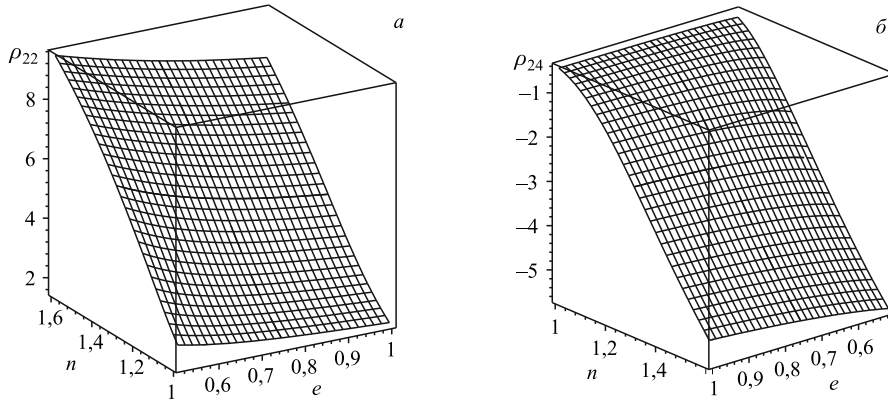


Рис. 4. Графики функций $\rho_{22}(e, n)$ (а) и $\rho_{24}(e, n)$ (б)

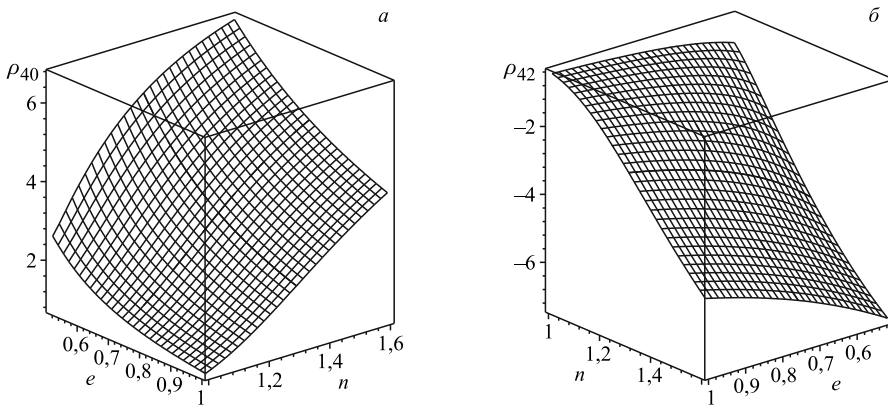


Рис. 5. Графики функций $\rho_{40}(e, n)$ (а) и $\rho_{42}(e, n)$ (б)

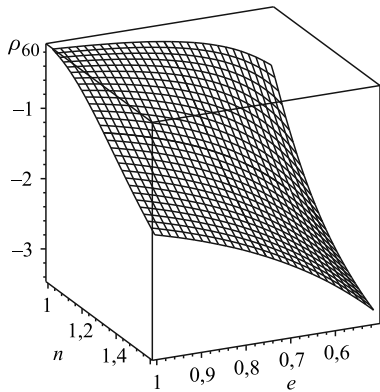


Рис. 6. График функции $\rho_{60}(e, n)$

В следующем линейном по X приближении трехмерные массивы неизвестных $\rho_{1[ab]c}$ и $Z_{1[ij]k}$ переведем в одномерные x_k ($k = 1, 2, \dots, N_2$), а также положим $x_1 = \rho_{1[20]0} = 1$.

В случае $P = 6, L = 2$ имеем $N_2 = 8$.

В линейном по X приближении система уравнений для X_k следует из (11) и имеет вид

$$X \sum_{k=1}^{N_2=2} A_i^k(y_m(e, n), e, n)x_k = -\eta_m \delta_i, \quad (16)$$

где δ_i определяется через интегралы

$$\int_D (x_1^2 - x_2^2) x_1^a x_2^b x_3^c dV. \quad (17)$$

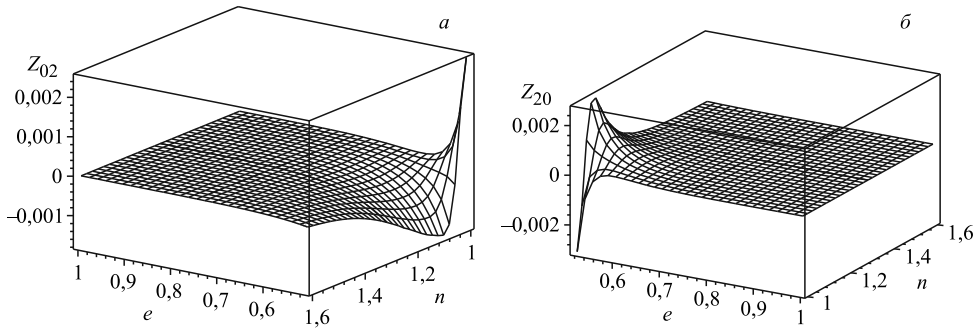


Рис. 7. Графики функций $Z_{02}(e, n)$ (а) и $Z_{20}(e, n)$ (б)

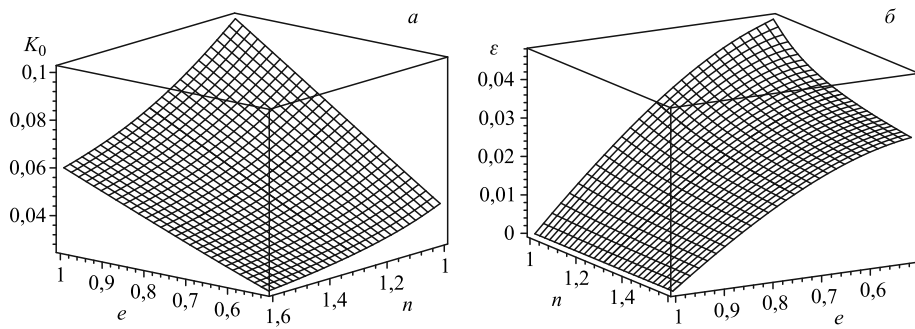


Рис. 8. Графики функций $K_0(e, n)$ (а) и $\varepsilon(e, n)$ (б)

Система уравнений (16) достаточно хорошо описывает асимметричную часть конфигурации вдали от критических точек по параметру e_k (ε_k), где определитель матрицы A_i^k существенно отличен от нуля. В этой области (16) легко сводится к одному уравнению

$$A(e, n)X = -\eta_m. \quad (18)$$

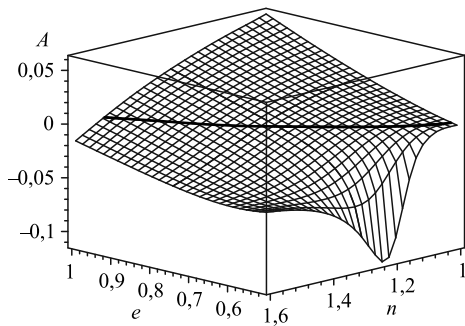


Рис. 9. График функции $A(e, n)$. Жирной линией изображена критическая кривая $A(e_k, n) = 0$

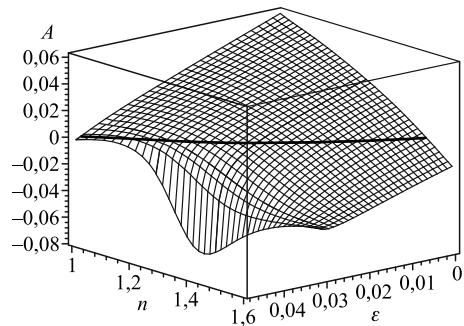


Рис. 10. График функции $A(\varepsilon, n)$. Жирной линией изображена критическая кривая $A(\varepsilon_k, n) = 0$

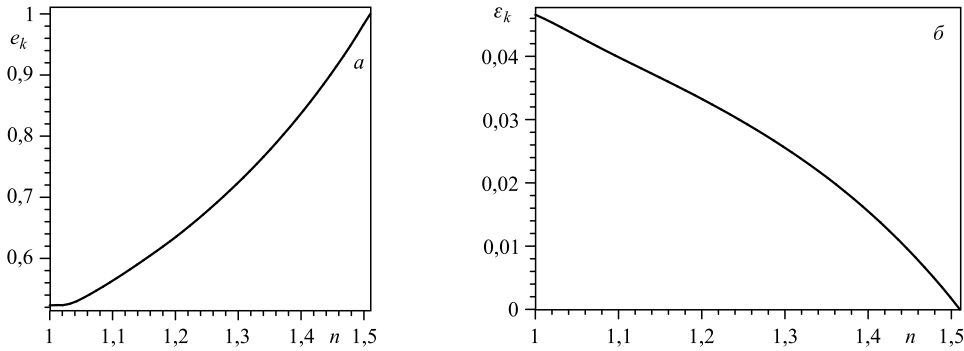


Рис. 11. Графики функций $e_k(n)$ (а) и $\varepsilon_k(n)$ (б)

Из (18) получается уравнение для критических значений e_k :

$$A(e_k, n) = 0. \tag{19}$$

Множество точек e_k образует критическую кривую $e_k = e_k(n)$.

Аналитический вид функции $A(e, n)$ сложен, и мы ограничимся ее графиком на рис. 9.

Если использовать вместо e физический параметр скорости вращения ε , то график зависимости $A(\varepsilon, n)$ дан на рис. 10.

Из (19) находим зависимости $e_k(n)$ и $\varepsilon_k(n)$ от индекса политропы в интервале $1 \leq n \leq 1,6$. Графики этих зависимостей представлены на рис. 11.

Вблизи критических точек нужно учитывать уже члены порядка X^3 . Тогда будем иметь уравнение

$$A(e, n)X + B_k(n)X^3 = -\eta_m. \tag{20}$$

График $B_k(n)$ приводится на рис. 12.

Уравнение (20) можно упростить заменой:

$$X = \sqrt[3]{\frac{-\eta_m}{B_k}} \xi(\lambda), \quad \lambda = -\frac{A(e, n)}{B_k^{1/3}(n)\eta_m^{2/3}}.$$

Тогда (20) приобретает вид

$$\xi^2 - \frac{1}{\xi} = \lambda. \tag{21}$$

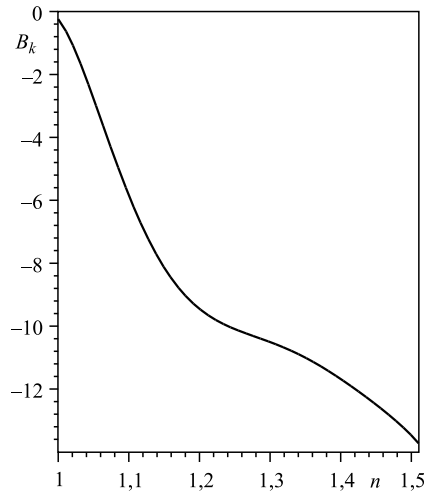


Рис. 12. График функции $B_k(n)$

Корни (21) соответственно равны

$$\begin{aligned}\xi_1 &= 2\sqrt{-\frac{\lambda}{3}} \operatorname{sh} \left(\frac{1}{3} \ln \left(\sqrt{-\frac{27}{4\lambda^3}} + \sqrt{1 - \frac{27}{4\lambda^3}} \right) \right), \quad \lambda < 0, \\ \xi_1 &= 2\sqrt{\frac{\lambda}{3}} \operatorname{ch} \left(\frac{1}{3} \ln \left(\sqrt{\frac{27}{4\lambda^3}} + \sqrt{\frac{27}{4\lambda^3} - 1} \right) \right), \quad 0 < \lambda < \sqrt[3]{\frac{27}{4}}, \\ \xi_{1,2,3} &= 2\sqrt{\frac{\lambda}{3}} \cos(3d_{1,2,3}) \cos \left(\frac{1}{3} \arccos \sqrt{\frac{27}{4\lambda^3}} + d_{1,2,3} \right), \quad \lambda > \sqrt[3]{\frac{27}{4}}, \\ d_1 &= 0, \quad d_{2,3} = \mp \frac{\pi}{3}.\end{aligned}\tag{22}$$

Наибольший интерес для нас представляют медленно вращающиеся политропы с ε меньше или порядка 10^{-4} (T больше или порядка 10^{-2} с), $1 - e \ll 1$. Для их исследования найдем значение индекса политропы n_k такое, что $\varepsilon_k = 0$, $e_k = 1$. Из уравнения $A(e = 1, n_k) = 0$ получаем $n_k = 1,51025$. Это значение оказалось очень близким к значению $n = 1,5$, что соответствует уравнению состояния вырожденного нерелятивистского ферми-газа. Новое значение $n_k = 1,51025$ можно объяснить использованием приближения политропы полиномом четвертой степени вместо второй в [4] и новым методом расчета, более точным по сравнению с [4], асимметричных параметров конфигурации.

Для медленно вращающихся политроп имеем

$$\begin{aligned}e_k &= 1 - 1,71367(1,51025 - n), \quad \varepsilon_k = 0,16859(1,51025 - n), \\ A(e, n) &= 0,86034(1,51025 - n) - 0,05720(1 - e), \quad B_k = -13,72356, \\ \lambda &= -0,41801r + 0,07047p, \quad r = \frac{\varepsilon}{\eta_m^{2/3}}, \quad p = \frac{1,51025 - n}{\eta_m^{2/3}}, \\ X(r, p, \eta_m) &= -0,41768\eta_m^{1/3}\xi(\lambda(r, p)).\end{aligned}\tag{23}$$

Если $|\lambda| \ll 1$, то

$$\xi(\lambda) \cong 1 + \frac{1}{3}\lambda.\tag{24}$$

При $\lambda \gg 1$

$$\xi_{1,3}(\lambda) \cong \pm\sqrt{\lambda}, \quad \xi_2(\lambda) = -\frac{1}{\lambda}.$$

График зависимости $\xi = \xi(r, p)$ представлен на рис. 13.

Из формул (23) следует, что при $n = n_k = 1,51025$ значение $\varepsilon_k = 0$, т.е. сколь угодно медленно вращающаяся ньютоновская политропа может иметь точку бифуркации при $\varepsilon_b = (0,16858p - 4,52112)\eta_m^{2/3}$. При $p = 40$, $\eta_m = 10^{-9}$ и $\rho_0 = 4 \cdot 10^{14}$ г/см³ имеем $\varepsilon_b \sim 10^{-6}$ ($T_b \sim 2,30 \cdot 10^{-1}$ с).

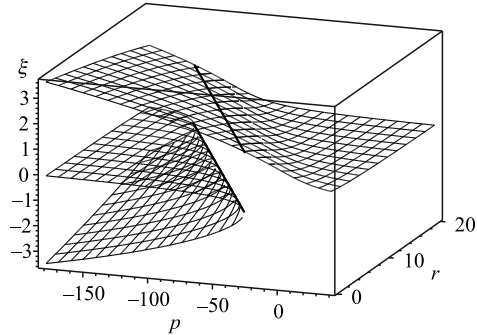


Рис. 13. График функции $\xi(r, p)$. Жирной линией изображена бифуркационная кривая

Для дальнейшего рассмотрения характера эволюции намагниченной вращающейся политропы удобно ввести момент M_{0m} по формуле

$$M_{0m}^2 = 2\pi G\rho_0 J^2 \eta_m^{2/3}, \quad (25)$$

где J — момент инерции конфигурации. Для медленно вращающейся конфигурации значение J постоянно. Тогда зависимость λ от момента конфигурации будет иметь вид

$$\lambda = 0,07047p - 0,41801 \left(\frac{M}{M_{0m}} \right)^2. \quad (26)$$

В процессе эволюции момент M постоянно уменьшается за счет потерь на электромагнитное и гравитационное излучение. Для двойных систем к этим потерям добавляется влияние аккреции вещества. При этом $\lambda(M)$ будет расти, и при $M = M_b$ параметр λ достигнет значения $\lambda = \lambda_b = \sqrt[3]{27/4} (M_b = M_{0m}(1,16858p - 4,52112)^{1/2})$. Пусть при $t = 0$ значение $M(t = 0) = M_0 > M_b$. Тогда $\lambda(M_0) < \lambda_b$ и через определенное время он достигнет точки λ_b . За это время эволюция идет по ветви $X_1 = 0,41768\eta_m^{1/3}\xi_1(\lambda)$, и в точке λ_b параметр X_1 достигает значения $X_1 = 0,663026\eta_m^{1/3}$. В этой точке $X_{2,3} = -0,33151\eta_m^{1/3}$. Возникает возможность перескока конфигурации с ветви X_1 на ветви X_2 и X_3 . Для оценки такой возможности будем использовать энергетический подход. С этой целью вычислим полную энергию E медленно вращающейся намагниченной ньютоновской политропы при фиксированной массе m , угловом моменте M и индексе n_k :

$$E = 2\pi G\rho_0^2 a_1^5 \left(\varepsilon \int_D \tilde{\rho}(x_1^2 + x_2^2) d^3x + \frac{1}{2} \int_D \tilde{\rho}\Phi d^3x + \right. \\ \left. + n_k K_0 \int_D \tilde{\rho}^{1+1/n_k} d^3x \right) + \frac{a_1^3}{8\pi} \int_D B_{in}^2 d^3x. \quad (27)$$

Проведенный нами расчет дает

$$E = 2\pi G\rho_0^2 a_1^5 \left(5,81851 \left(\frac{M}{M_0} \right)^2 - 0,02285 + 0,00986X^2 + 1,05879\eta_m X \right). \quad (28)$$

Из (28) следует, что минимум E при фиксированном моменте достигается при отрицательных максимально больших по модулю значениях X в области порядка $\eta_m^{1/3}$. Поэтому в точке бифуркации λ_b должен возникнуть скачок с ветви X_1 на ветвь X_3 . При этом скачке относительный период вращения изменится как

$$\frac{\Delta T}{T} = -2,16403\eta_m^{2/3}. \quad (29)$$

Формула (29) указывает на ускорение вращения намагниченной политропы в точке бифуркации λ_b . Природа скачка обусловлена наличием магнитных натяжений, ось симметрии которых наклонена к оси вращения. Если положить в (29) $\eta_m = 10^{-9} - 10^{-13}$, то имеет место оценка:

$$\frac{\Delta T}{T} = -2,16403 \cdot (10^{-9} - 10^{-6}). \quad (30)$$

Проведенная нами оценка дает наблюдаемый порядок скачка периодов пульсаров. Так, относительное изменение периода $\Delta T/T$ во время скачка составляет $3 \cdot 10^{-9}$ лет PSR 0531 + 21 в Крабовидной туманности и $2 \cdot 10^{-6}$ лет PSR 0833 – 45 в созвездии Парусов [9].

Проведенные нами оценки скачков периодов пульсаров согласуются со значениями внутреннего магнитного поля $B_{0\text{in}}$ порядка $10^{-14} - 10^{-12}$ Гс, что примерно на два порядка больше характерных значений внешних магнитных полей пульсаров $B_{0\text{out}}$. Данное соотношение примерно соответствует отношению полоидального и тороидального полей в модели магнитного динамо. Эти оценки имеют место, если механизм этих скачков связан с достижением фигур пульсаров точки бифуркации ε_b . Данный эффект несомненно может быть использован для получения оценки внутренних магнитных полей пульсаров.

ЗАКЛЮЧЕНИЕ

Результаты данной работы убедительно доказывают наличие критических точек и точек бифуркации намагниченных ньютоновских политроп с индексом $1 \leq n \leq 1,6$. Это противоречит установившемуся мнению [2], что при $n > 0,808$ точек бифуркации нет, и указывает на сложный характер зависимости решения уравнения (1) от индекса политропы для различных интервалов его значений, т.е. параметров уравнения состояния. Получено численное значение критического индекса политропы $n_k = 1,51025$, выше которого нет точек бифуркации и критических точек в рассмотренном интервале значений $1 \leq n \leq 1,6$ в случае использования аппроксимации функции $\tilde{\rho}^{1/n}$ полиномом четвертой степени $N = 4$.

Показано, что вблизи n_k у медленно вращающихся ньютоновских политроп существуют точки бифуркации.

Предложен новый механизм скачка периода пульсара, обусловленный прохождением точки бифуркации его фигуры в процессе эволюции и сменой знака параметра асимметрии X распределения вещества относительно оси вращения. При этом величина скачка может быть использована для оценки внутреннего магнитного поля пульсаров.

СПИСОК ЛИТЕРАТУРЫ

1. *Jeans J. H.* Problems of Cosmogony and Stellar Dynamics. Adams Prize Essay for 1917. Cambridge: Univ. Press, 1919. 293 p.
2. *James R. A.* The Structure and Stability of Rotating Gas Masses // *Astrophys. J.* 1964. V. 140. P. 552–582.
3. *Беспалько Е. В. и др.* Гравитирующая быстровращающаяся сверхплотная конфигурация с реалистическими уравнениями состояния // *Мат. моделирование.* 2006. Т. 118, № 3. С. 103–119.
4. *Михеев С. А., Цветков В. П.* Точки бифуркации вращающихся намагниченных ньютоновских политроп с показателем, близким к единице // *Письма в ЭЧАЯ.* 2008. Т. 5, № 4(146). С. 675–687.
5. *Михеев С. А., Пузынин И. В., Цветков В. П.* Конфигурации вращающихся намагниченных ньютоновских политроп с малым индексом // *Вестн. ТвГУ. Сер. «Прикладная математика».* 2010. Вып. 1(16). С. 75–86.

6. *Цветков В. П., Масюков В. В.* Метод рядов Бурмана–Лагранжа в задаче об аналитическом представлении ньютоновского потенциала возмущенных эллипсоидальных конфигураций // Докл. АН СССР. 1990. Т. 3, № 5. С. 1099–1102.
7. *Беспалько Е. В. и др.* Ньютоновский потенциал гравитирующей конфигурации с поверхностью, близкой к сфероиду. Свидетельство о государственной регистрации программы для ЭВМ № 2011616808. Зарегистрирована в реестре программ 1 сентября 2011 г.
8. *Ермаков В. В., Калиткин Н. Н.* Оптимальный шаг и регуляризация метода Ньютона // Журн. вычисл. и мат. физ. 1981. Т. 21, № 2. С. 491–497.
9. *Taylor J. H., Manchester R. N., Lyne A. G.* Catalog of 558 Pulsars // *Astrophys. J. Suppl. Ser.* 1993. V. 88, No. 2. P. 529–568.

Получено 12 июля 2012 г.